ANNEXE B

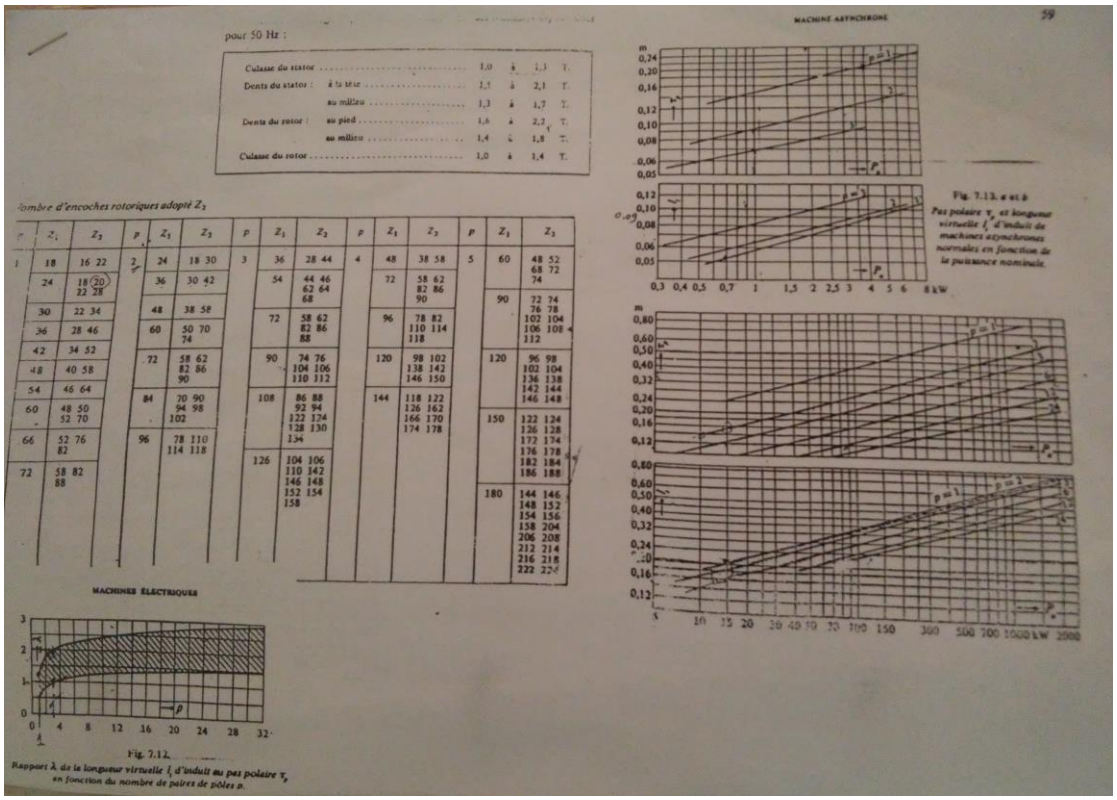

pour 50 Hz :

Culasse du stator		1,0 à 1,3	T
Dents du stator :	à la tête	1,5 à 2,1	T
	au milieu	1,3 à 1,7	T
Dents du rotor :	au pied	1,6 à 2,2	T
	au milieu	1,4 à 1,8	T
Culasse du rotor		1,0 à 1,4	T

Nombre d'encoches rotoriques adopté Z_2

p	Z_1	Z_2	p	Z_1	Z_2	p	Z_1	Z_2	p	Z_1	Z_2	p	Z_1	Z_2
1	18	16 22	2	24	18 30	3	36	28 44	4	48	38 58	5	60	48 52 68 72 74
	24	18 20 22 28		36	30 42		54	44 46 62 64 68		72	58 62 82 86 90		90	72 74 76 78 102 104 106 108 112
	30	22 34		48	38 58		72	58 62 82 86 88		96	78 82 110 114 118		120	96 98 102 104 136 138 142 144 146 148
	36	28 46		60	50 70 74		90	74 76 104 106 110 112		120	98 102 138 142 146 150		150	122 124 126 128 172 174 176 178 182 184 186 188
	42	34 52		72	58 62 82 86 90		108	86 88 92 94 122 124 128 130 134		144	118 122 126 162 166 170 174 178		180	144 146 148 152 154 156 158 204 206 208 212 214 216 218 222 224
	48	40 58		84	70 90 94 98 102		126	104 106 110 142 146 148 152 154 158						
	54	46 64		96	78 110 114 118									
	60	48 50 52 70												
	66	52 76 82												
	72	58 82 88												

Fig. 7.12.
Rapport λ de la longueur virtuelle l_i d'induit au pas polaire τ_p en fonction du nombre de paires de pôles p.

Fig. 7.13. a et b
Pas polaire τ_p et longueur virtuelle l_i d'induit de machines asynchrones normales en fonction de la puissance nominale.

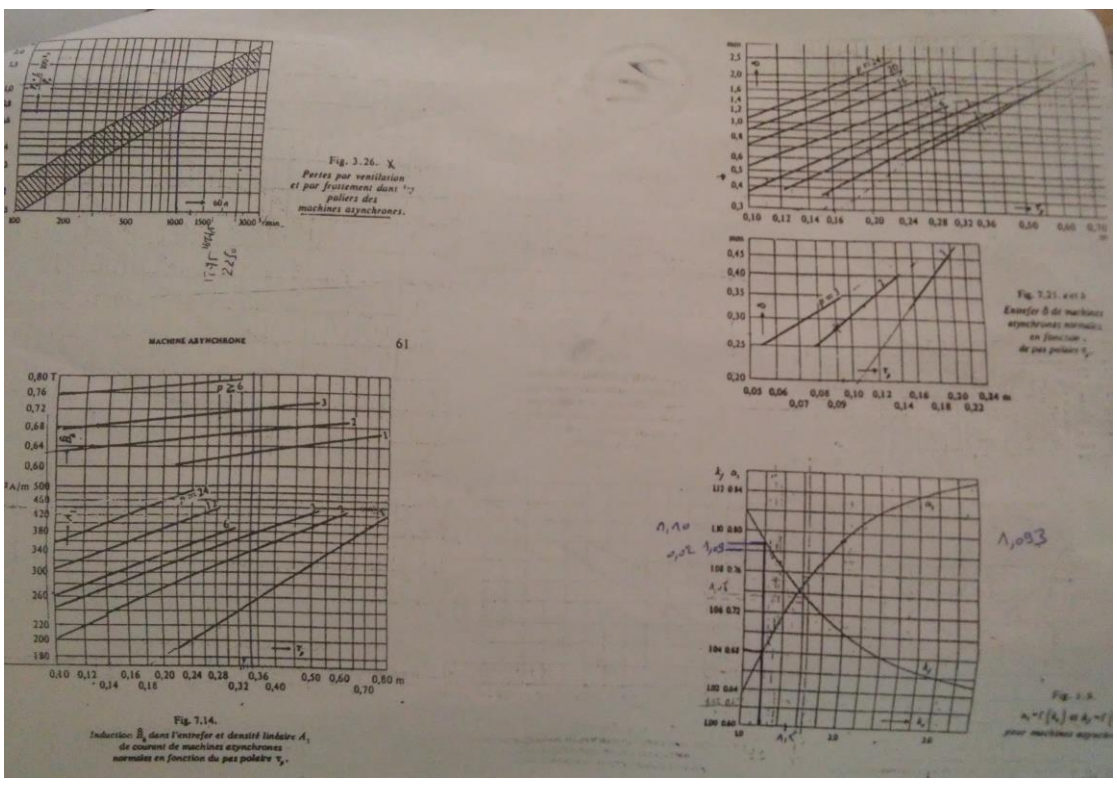

Fig. 3.26.
Pertes par ventilation et par frottement dans les paliers des machines asynchrones.

Fig. 7.14.
Induction $\hat{B}_\delta$ dans l'entrefer et densité linéaire A_1 de courant de machines asynchrones normales en fonction du pas polaire τ_p.

Fig. 7.21. a et b
Entrefer δ de machines asynchrones normales en fonction de pas polaire τ_p

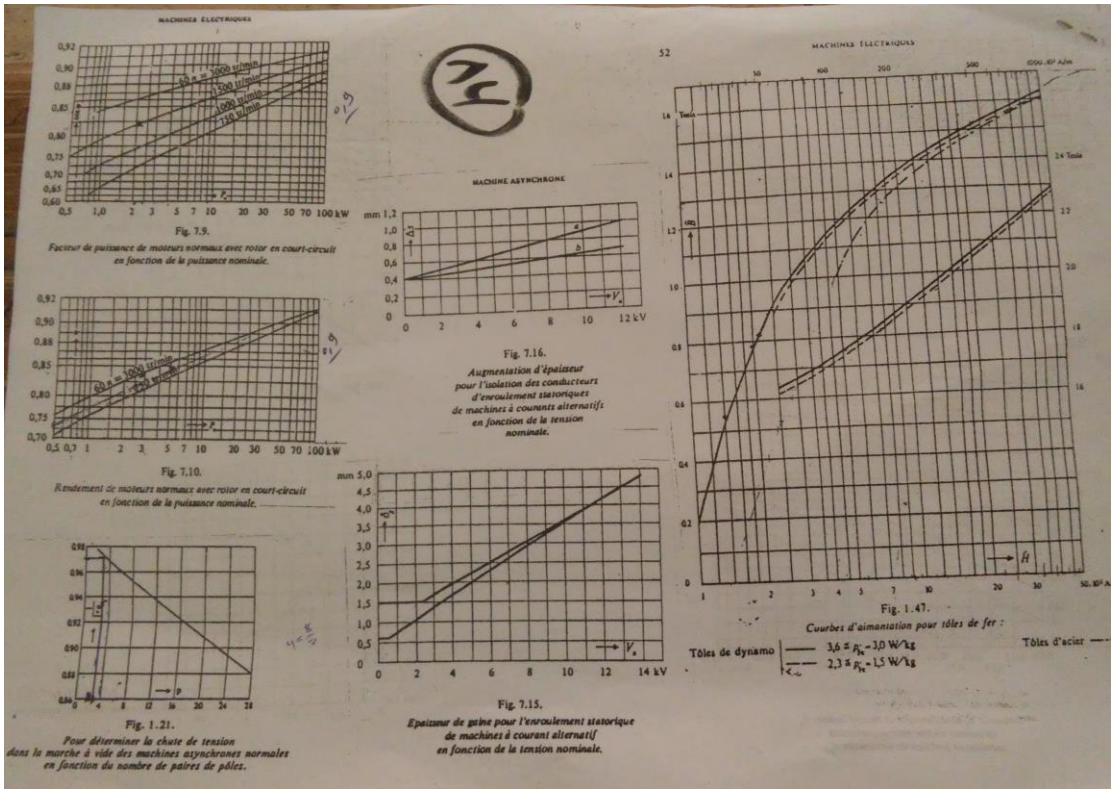
MACHINES ÉLECTRIQUES
Fig. 7.9.
Facteur de puissance de moteurs normaux avec rotor en court-circuit en fonction de la puissance nominale.
Fig. 7.10.
Rendement de moteurs normaux avec rotor en court-circuit en fonction de la puissance nominale.
Fig. 1.21.
Pour déterminer la chute de tension dans la marche à vide des machines asynchrones normales en fonction du nombre de paires de pôles.
MACHINE ASYNCHRONE
Fig. 7.16.
Augmentation d'épaisseur pour l'isolation des conducteurs d'enroulement statoriques de machines à courants alternatifs en fonction de la tension nominale.
Fig. 7.15.
Epaisseur de gaine pour l'enroulement statorique de machines à courant alternatif en fonction de la tension nominale.
52
MACHINES ÉLECTRIQUES
Fig. 1.47.
Courbes d'aimantation pour tôles de fer :
Tôles de dynamo
Tôles d'acier